

Sistema de Aquecimento para Beteiras

Rafael Feijó Leonardo
Graduação em Engenharia Eletrônica
Universidade de Brasília
Gama, DF, Brasil
goldcard99@hotmail.com

Resumo—Este documento apresenta a proposta de desenvolvimento de um sistema de controle de temperatura *PID* para aquários de pequeno porte, utilizando uma *FPGA* para a correção do erro da temperatura *setpoint*.

I. JUSTIFICATIVA

Com a evolução do aquarismo, eletrônicos diversos foram desenvolvidos buscando reproduzir o *habitat* natural dos peixes.

Dentre estes dispositivos, o aquecedor se tornou um dos mais populares. Isso devido ao fato de que a temperatura corporal do peixe é determinada pela água ao seu redor e, esta por sua vez, determina o metabolismo do animal. Ou seja, para baixas temperaturas o metabolismo desacelera, reduzindo o apetite, que por sua vez baixa a imunidade do peixe, dentre outros problemas característicos.

Entretanto, dentre os diversos modelos de aquecedores disponíveis no mercado, para aquários de até 25 Litros é difícil achar modelos de controle automático. Ou seja, a maioria dos disponíveis devem ser utilizados com um termômetro, em que o usuário deixa aquecer até a temperatura desejada e desliga o aparelho.

Nesse contexto, essa proposta visa desenvolver um sistema automático de controle, utilizando a correção por *PID*, para manutenção da temperatura da água de pequenos aquários, utilizando uma placa *FPGA Basys 3*, da *Xilinx* além de dispositivos sensor e atuador.

II. OBJETIVOS

Como objetivo, tem-se o desenvolvimento de um sistema de aquecimento, para aclimação de aquários de até 25 Litros, utilizando um algoritmo *PID*, em tempo real, embarcado em uma *FPGA*.

III. REQUISITOS FUNCIONAIS

- 1) Configuração da Temperatura *Setpoint*
O sistema deverá permitir a configuração da temperatura *setpoint* através de uma palavra de 32 bits, configurada via *IP VIO Core*.
- 2) Indicador *On/Off*
O sistema deverá possuir um *LED* indicativo do estado do sistema: ligado ou desligado.

- 3) Indicador *IDLE/WORKING*
O sistema deverá possuir um *LED* indicativo do estado de controle: *setpoint* atingido (*IDLE*) ou aquecendo (*WORKING*).
- 4) Cálculo *PID*
O sistema deverá ser capaz de realizar o cálculo do erro proporcional, integrativo e derivativo da temperatura recebida do microcontrolador.
- 5) Configuração do Ganho *Kp*, *Ki* e *Kd*
O sistema deverá permitir a configuração dos ganhos das parcelas proporcional, integrativa e derivativa do algoritmo.
- 6) Visualização da Temperatura Real
O sistema deverá apresentar a temperatura relativa do aquário, em tempo real, nos *displays 7 segmentos* da placa *FPGA*.
- 7) *Low Power Mode*
O sistema deverá possuir um botão que, se pressionado, desativará o algoritmo *PID* e colocará o microcontrolador em modo de baixo consumo.

IV. REQUISITOS NÃO FUNCIONAIS

- 1) Sensor de Temperatura
Sensor *DS18B20*, com interface *OneWire*, para aferição da temperatura relativa da água do aquário.
- 2) Microcontrolador
Microcontrolador *NodeMCU*, como ponte entre o sensor de temperatura e a placa *FPGA*, através de comunicação serial.
- 3) *FPGA*
Placa *Basys 3* responsável pelo cálculo do algoritmo *PID* e controle do *driver* do aquecedor.
- 4) Aquecedor
Pastilha *Peltier* como componente aquecedor.

V. DESCRIÇÃO DO MODELO

A modelagem do sistema em *hardware* é descrita pelas Figuras 1 e 2.

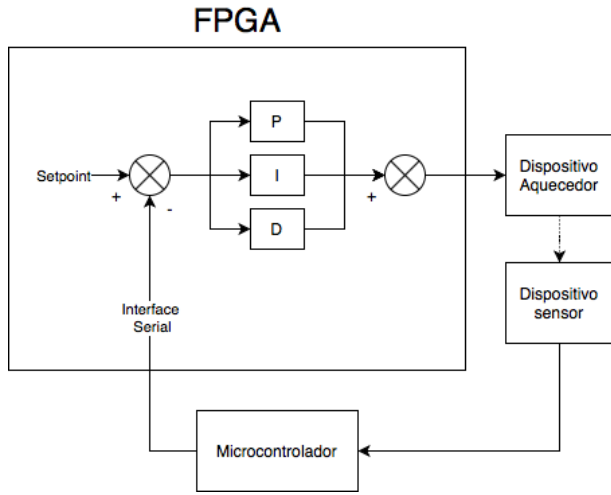


Figura 1. Diagrama modular do sistema de controle proposto.

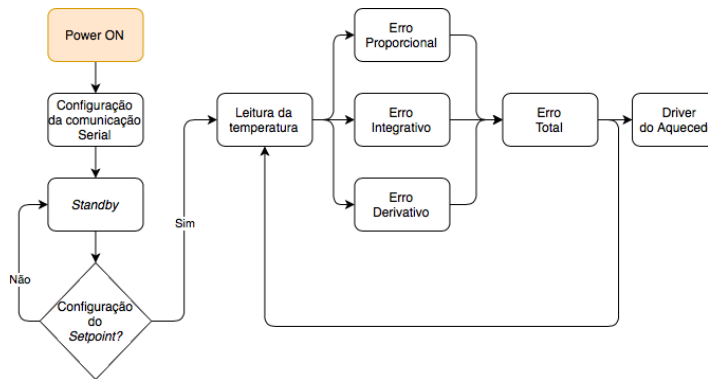


Figura 2. Fluxograma geral do sistema de controle proposto.

VI. METODOLOGIA

Como metodologia, o projeto foi dividido em 6 etapas, descritas abaixo.

- 1) Projeto de *Hardware* para conexão do microcontrolador, sensor, aquecedor e *FPGA*.
- 2) Aquisição de dados de temperatura e interface serial (*FPGA* - Microcontrolador).
- 3) Algoritmo PID: Bloco Proporcional.
- 4) Algoritmo PID: Bloco Integrador.
- 5) Algoritmo PID: Bloco derivativo.
- 6) Integração entre os blocos e *driver* do aquecedor.

Em cada etapa, serão realizadas simulações comportamentais que comprovem o funcionamento do bloco para posterior implementação em *hardware*.

VII. CRONOGRAMA

Tabela I
CRONOGRAMA PROPOSTO PARA O PROJETO.

Semana	Data	PC	Meta
0	12/10 à 16/10	X	1
1	19/10 à 23/10		2
2	26/10 à 30/10		3
3	02/11 à 06/11		3
4	09/11 à 13/11	X	4
5	16/11 à 20/11		4
6	23/11 à 27/11		5
7	30/11 à 04/12		5
8	07/12 à 11/12		6
9	14/12 à 18/12	X	-

VIII. DESENVOLVIMENTO

Para o desenvolvimento do projeto, foram criados *scripts* em *Octave* para simulação automática de cada um dos módulos projetados. Além disso, foram dispostos vídeos demonstrativos na pasta do projeto.

A. Projeto de Hardware

A Interface projetada, para comunicação entre o microcontrolador e a *Basys 3*, é mostrada na Figura 3.

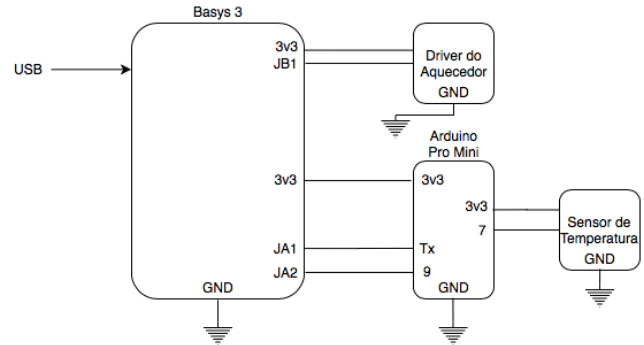


Figura 3. Interface Microcontrolador X FPGA.

O microcontrolador utilizado foi um *Arduino Pro Mini*, por questão de disponibilidade.

À seguir, são mostrados os esquemáticos do *driver* do aquecedor e o circuito do sensor de temperatura.

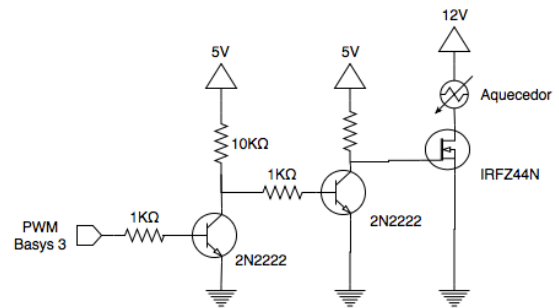


Figura 4. Esquemático do *Driver* de Potência do aquecedor.

Como componente aquecedor, foram utilizadas 2 Pastilhas Peltier 12706, em paralelo.

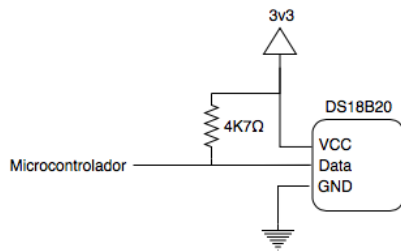


Figura 5. Esquemático de conexão entre o microcontrolador e o sensor de temperatura.

Para aferição da temperatura, foi utilizado o sensor DS18B20, à prova d'água.

B. Aquisição da Temperatura Relativa

Para aquisição da temperatura no Arduino, foi utilizada a biblioteca "DallasTemperature.h".

```
36 bus.requestTemperatures();
37
38 float t = bus.getTempCByIndex(0);
```

Figura 6. Printscreen do trecho de código em que se obtém a temperatura, em float.

Após armazenar a temperatura na variável 't', o valor é codificado em 1 byte, utilizando o formato Ponto Fixo (Figura 7), para envio via barramento UART.

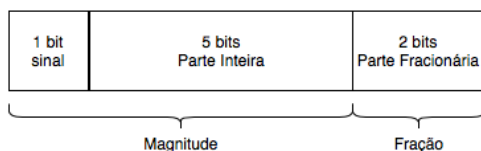


Figura 7. Modelo utilizado para transmissão da temperatura via interface Serial.

Dessa forma, é possível enviar valores entre -31.75 e +31.75. Entretanto, considerando a temperatura ideal para betoiras, a faixa utilizada foi de 0°C à 31.75°C.

```
50 void send_UART(float t)
51 {
52     // Convert temperature to unsigned fixed point
53     // (6 bits magnitude + 2 bits decimal)
54     int mag = (int)t;
55     int dec = (int)((t - mag) * 100);
56
57     if (dec == 0 || dec < 13)
58         dec = 0;
59     else if (dec > 12 && dec < 37)
60         dec = 1;
61     else if (dec > 36 && dec < 63)
62         dec = 2;
63     else if (dec > 62 && dec < 87)
64         dec = 3;
65     else
66     {
67         dec = 0;
68         mag += 1;
69     }
70 }
```

Figura 8. Printscreen do trecho de código em que o float é codificado em 1 byte, utilizando o formato Ponto Fixo.

```
71 // Check if magnitude is 5 bits length
72 if (mag < 0.0 || mag >= 32.0)
73     return;
74
75 // Mount fixed point byte
76 byte data;
77
78 data = (mag << 2) | dec;
79
80 // Send data via UART
81 Serial.write(data);
82
83 digitalWrite(LED_BUILTIN, HIGH);
84 delay(10);
85 digitalWrite(LED_BUILTIN, LOW);
86 }
```

Figura 9. Continuação do Printscreen do trecho de código em que o float é codificado em 1 byte, utilizando o formato Ponto Fixo.

Por fim, considerando que as variações de temperatura devem ser suaves para garantir o bem estar dos animais, foi adotado uma frequência de amostragem de 1Hz.

C. Interface Serial - Arduino X FPGA

Uma vez que o Arduino escreve um byte no barramento e gera um pulso no LED integrado (pino 9), a FPGA inicia o processamento.

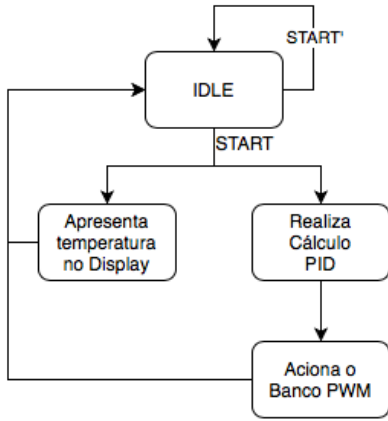


Figura 10. Esboço do fluxograma geral do sistema desenvolvido em hardware.

Na FPGA, o byte é recebido via *IP Core "serialcom"* e, para apresentação nos displays 7 segmentos, segue o fluxo:

- 1) Inverte o byte recebido;
- 2) Separa a parte inteira da parte fracionária;
- 3) Codifica a parte inteira para 7 segmentos;
- 4) Codifica a parte fracionária para 7 segmentos;
- 5) Multiplexa os 4 dígitos do display;

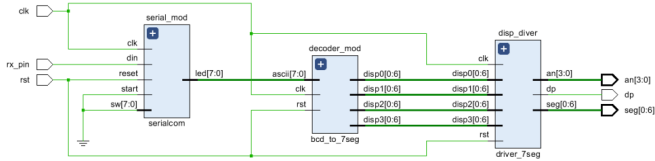


Figura 11. *Printscreen* do esquemático RTL gerado para a Interface Arduino X Basys3.

D. Algoritmo PID

O controle Proporcional/Integral/Derivativo (PID) é uma técnica que, à partir de um sinal de entrada e um *setpoint*, faz com que o erro seja minimizado pela ação proporcional, zerado pela ação integral e obtido com uma velocidade antecipativa pela ação derivativa.

No caso deste projeto, o microcontrolador envia um pulso de *start* sempre que disponibilizar novos dados de temperatura. Assim sendo, a FPGA poderá operar com seu clock em máxima velocidade, 100MHz.

Inicialmente, através do *VIO CORE* são configurados os parâmetros: *setpoint*, *kP*, *kI* e *kD*, todos em Ponto Flutuante simples (32 bits), inicializados em 25.0, 1.0, 1.0 e 1.0, respectivamente.

Ademais, ao receber a temperatura em Ponto Fixo, o módulo irá converter essa medida para Ponto Flutuante simples (32 bits), através do *IP Core "Floating Point"*.

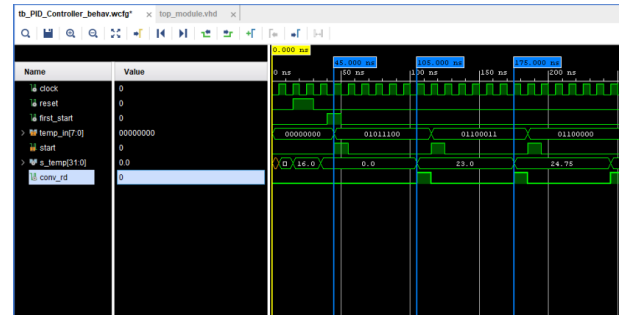


Figura 12. *Printscreen* da simulação comportamental da conversão de ponto fixo para ponto flutuante simples. Note latência de 60 ns e *throughput* de 14 MFLOPS.

Na sequência, é calculado o erro:

$$error = setpoint - realTemperature$$

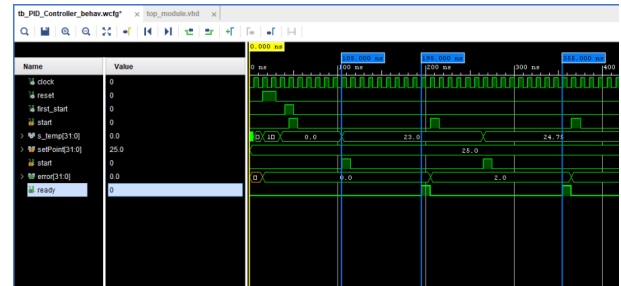


Figura 13. *Printscreen* da simulação comportamental do cálculo do erro. Note latência de 90 ns e *throughput* de 6 MFLOPS.

1) Algoritmo PID: Bloco Proporcional

O Bloco proporcional é modelado conforme a equação:

$$P = error * kP$$

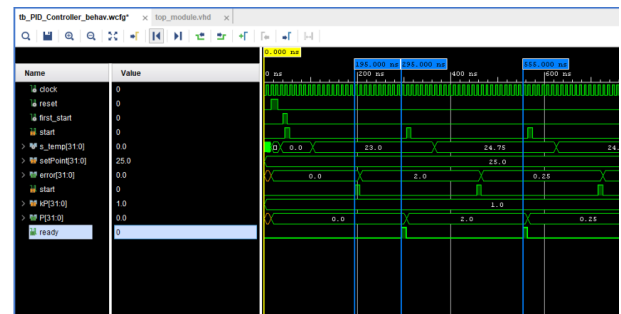


Figura 14. *Printscreen* da simulação comportamental do cálculo Proporcional. Note latência de 100 ns e *throughput* de 4 MFLOPS.

2) Algoritmo PID: Bloco Integrativo

O Bloco integrativo é modelado conforme a equação:

$$I = (I + (error * kI)) * dT$$

Para a frequência de amostragem de 1Hz, $dT = 1$ e, portanto:

$$I = I + (error * kI)$$

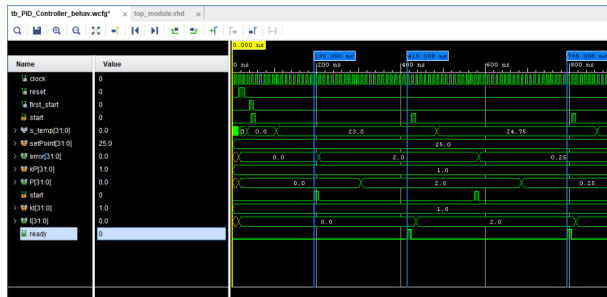


Figura 15. *Printscreen* da simulação comportamental do cálculo Integrativo. Note latência de 220 ns e *throughput* de 3 MFLOPS.